

FIG. 1

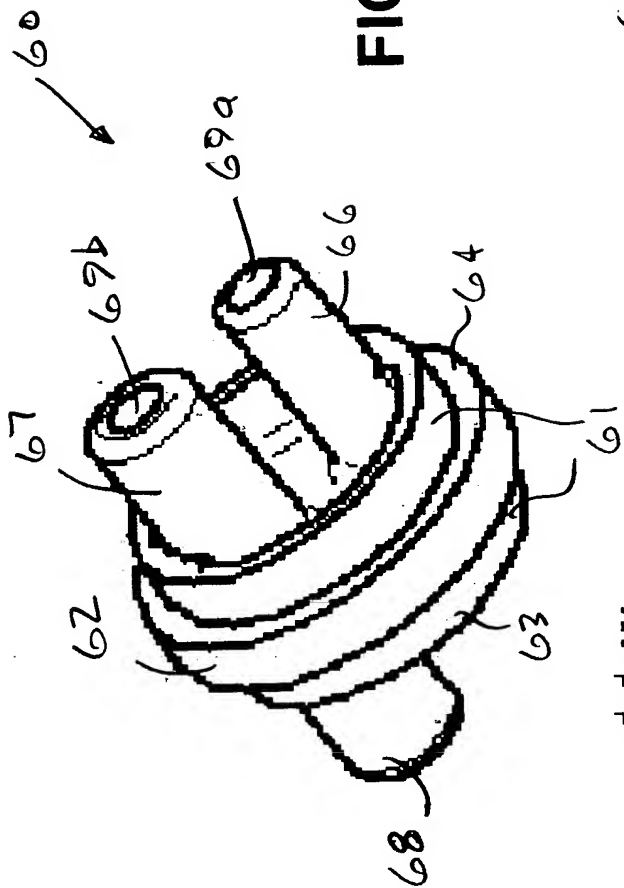


FIG. 2

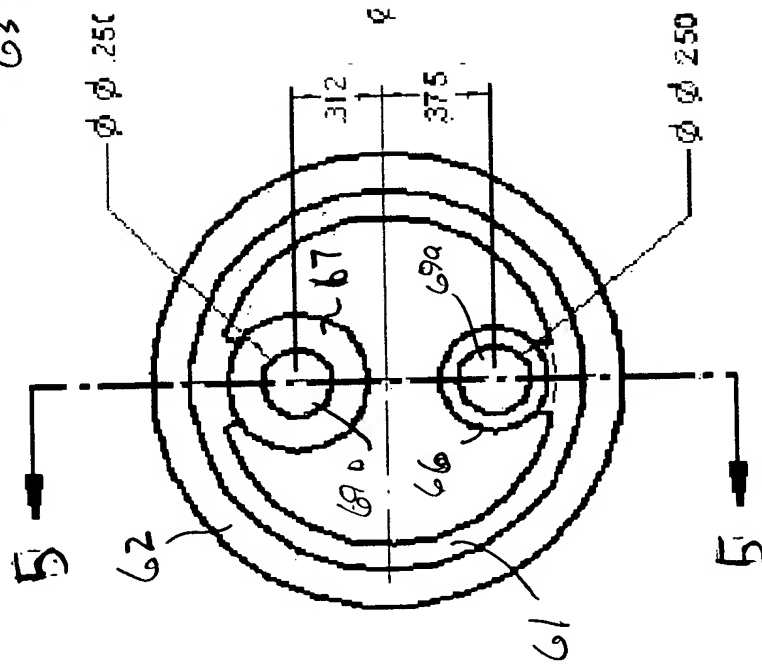


FIG. 3

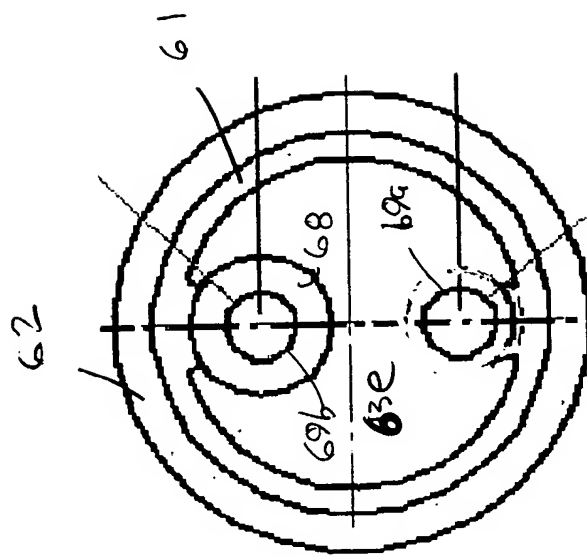


FIG. 4

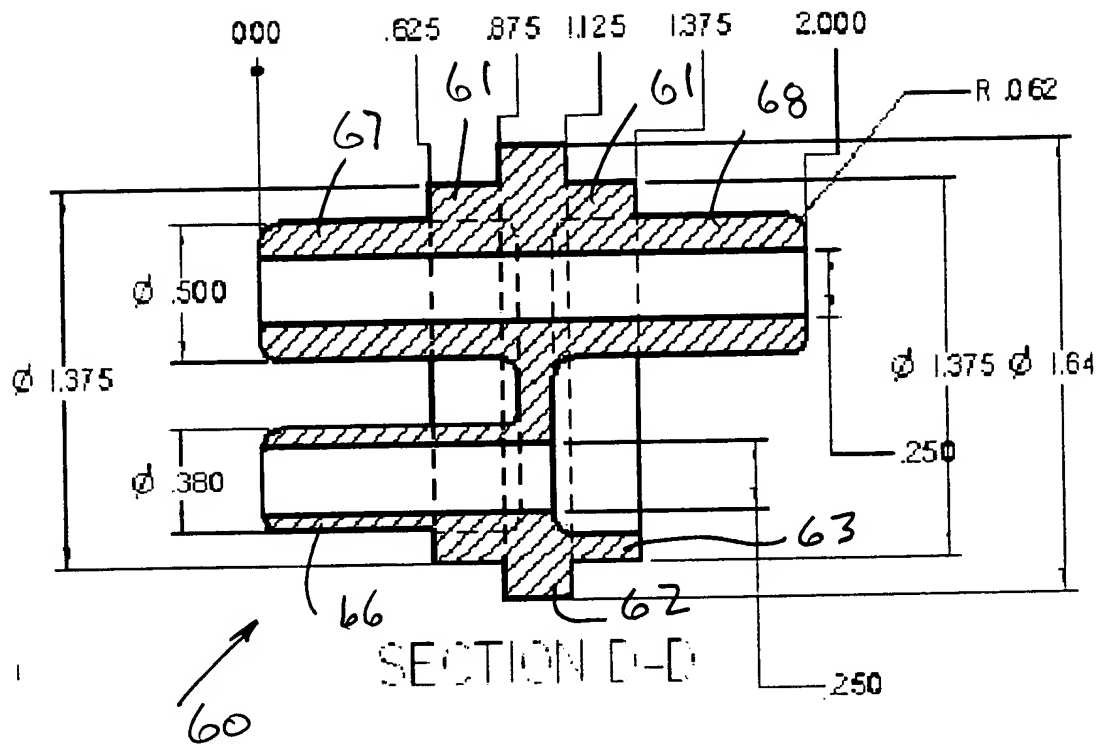


FIG. 5

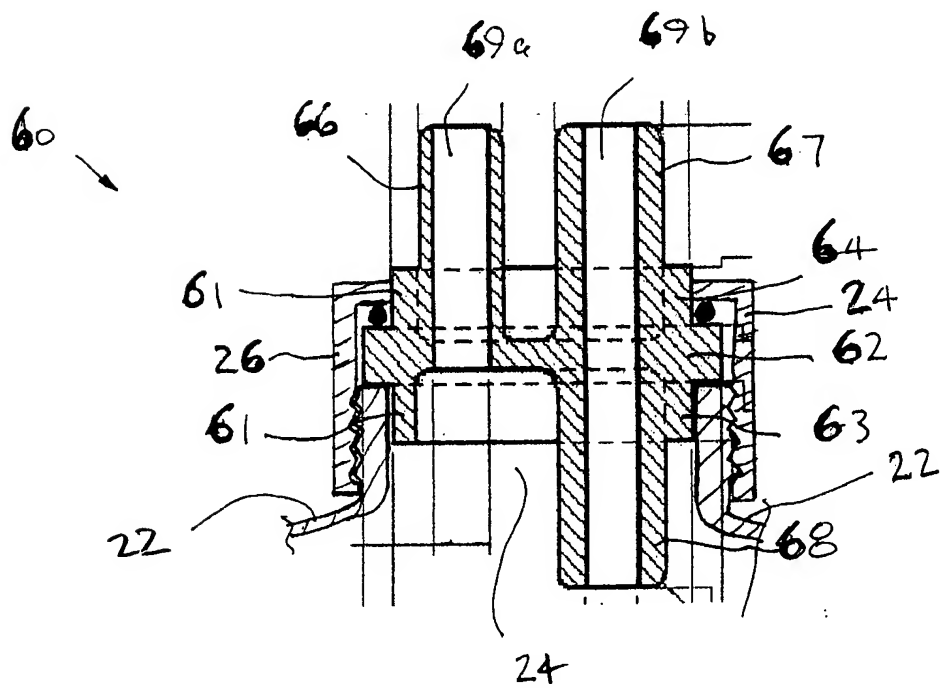


FIG. 6

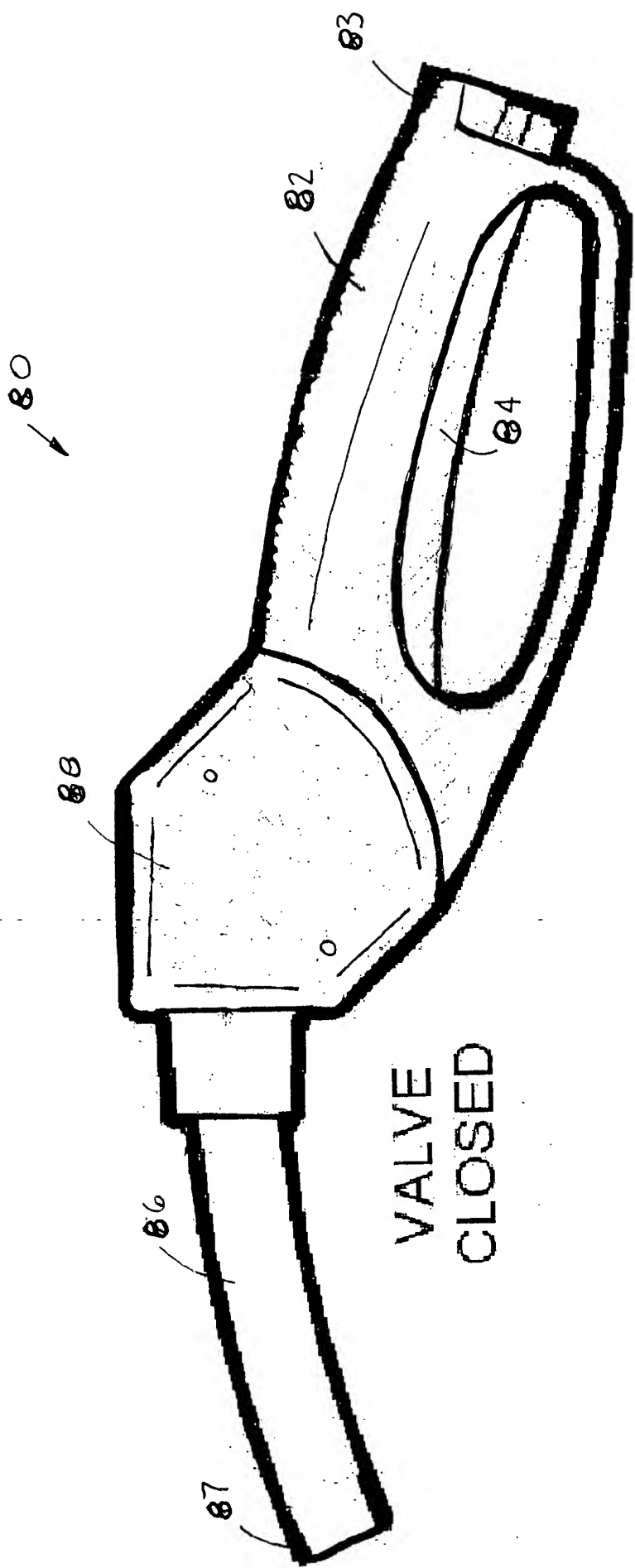


FIG. 7

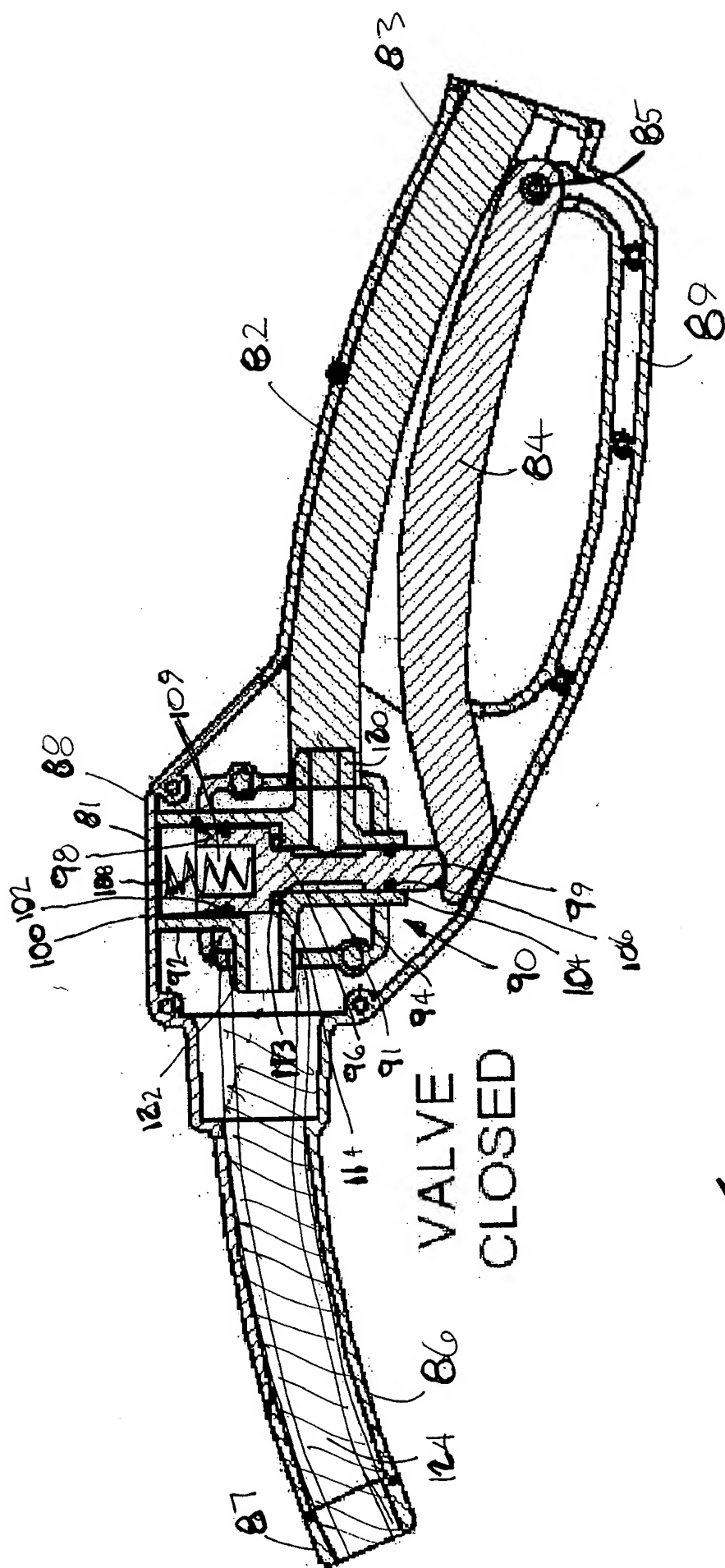


FIG. 8

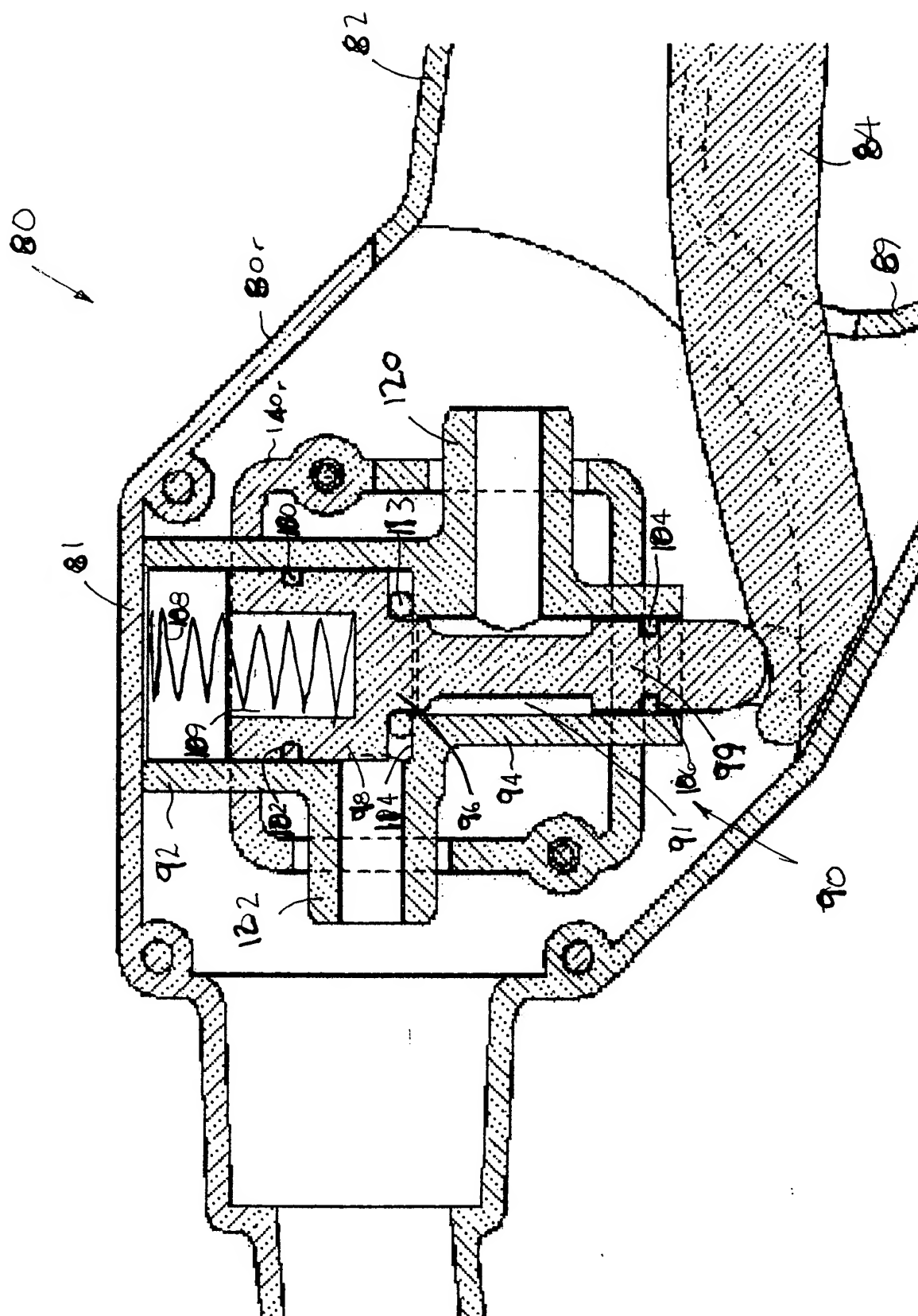


FIG. 9

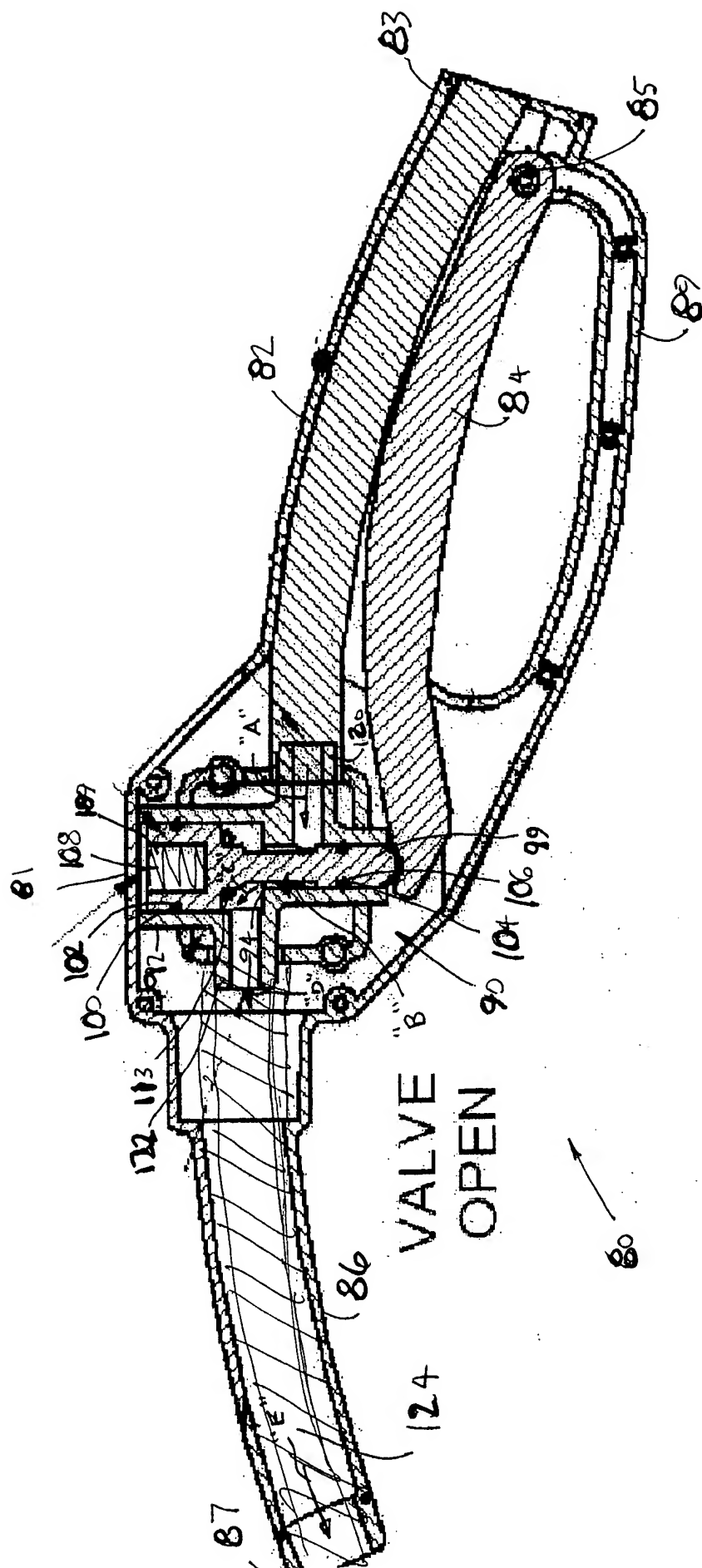


FIG. 10

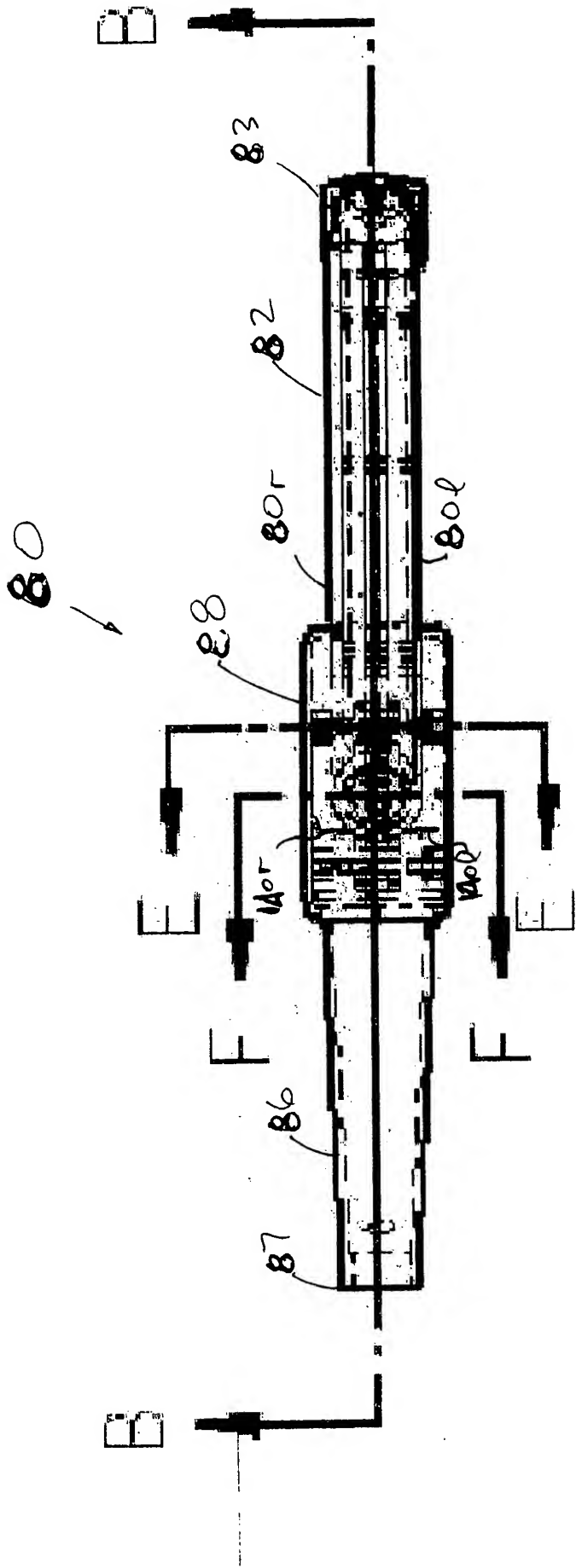


FIG. 11

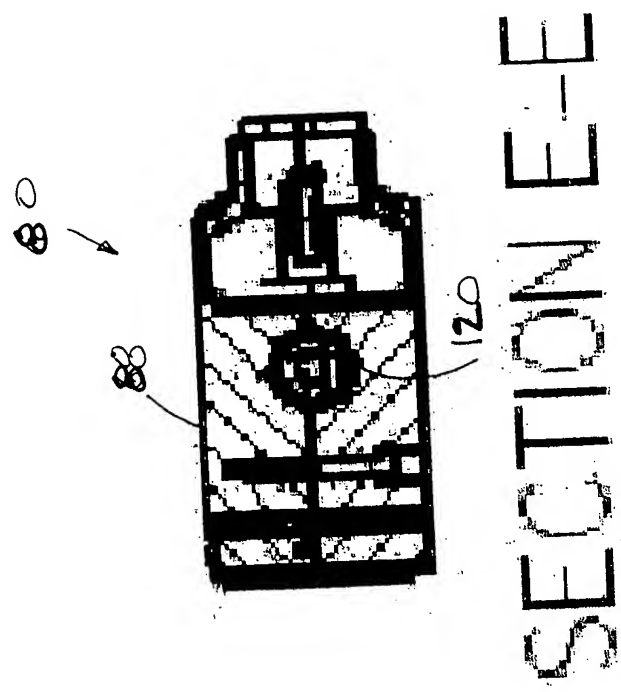


FIG. 12

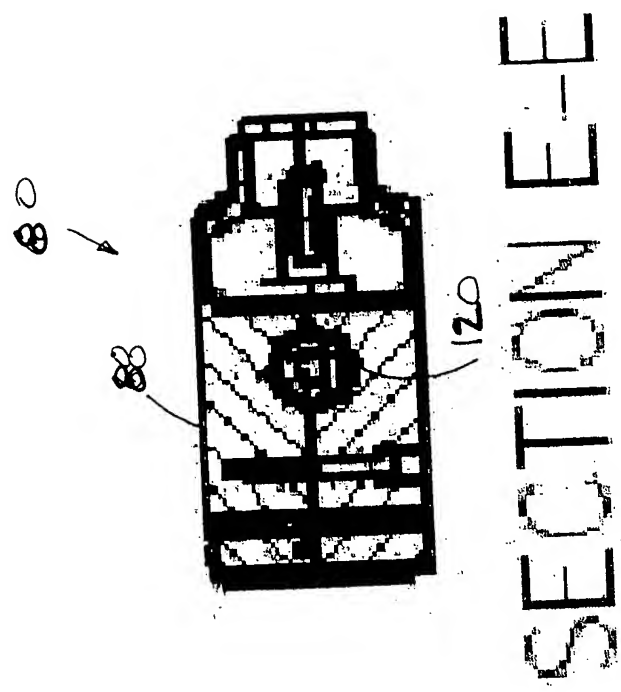


FIG. 13

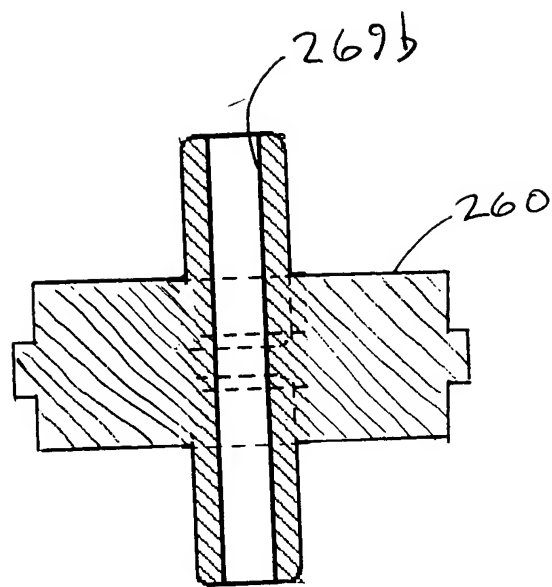


FIG. 15

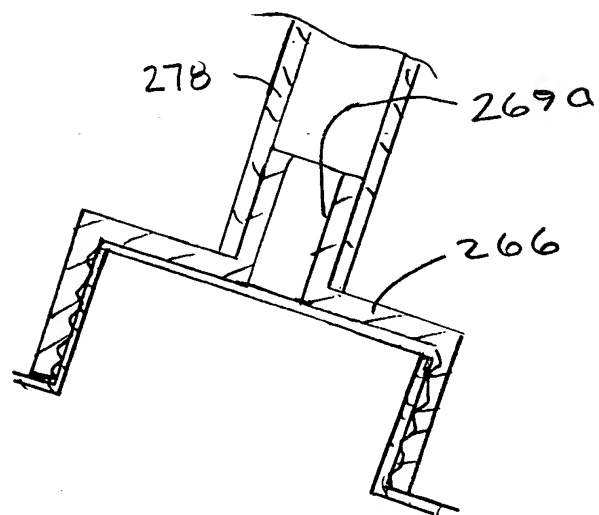


FIG. 16

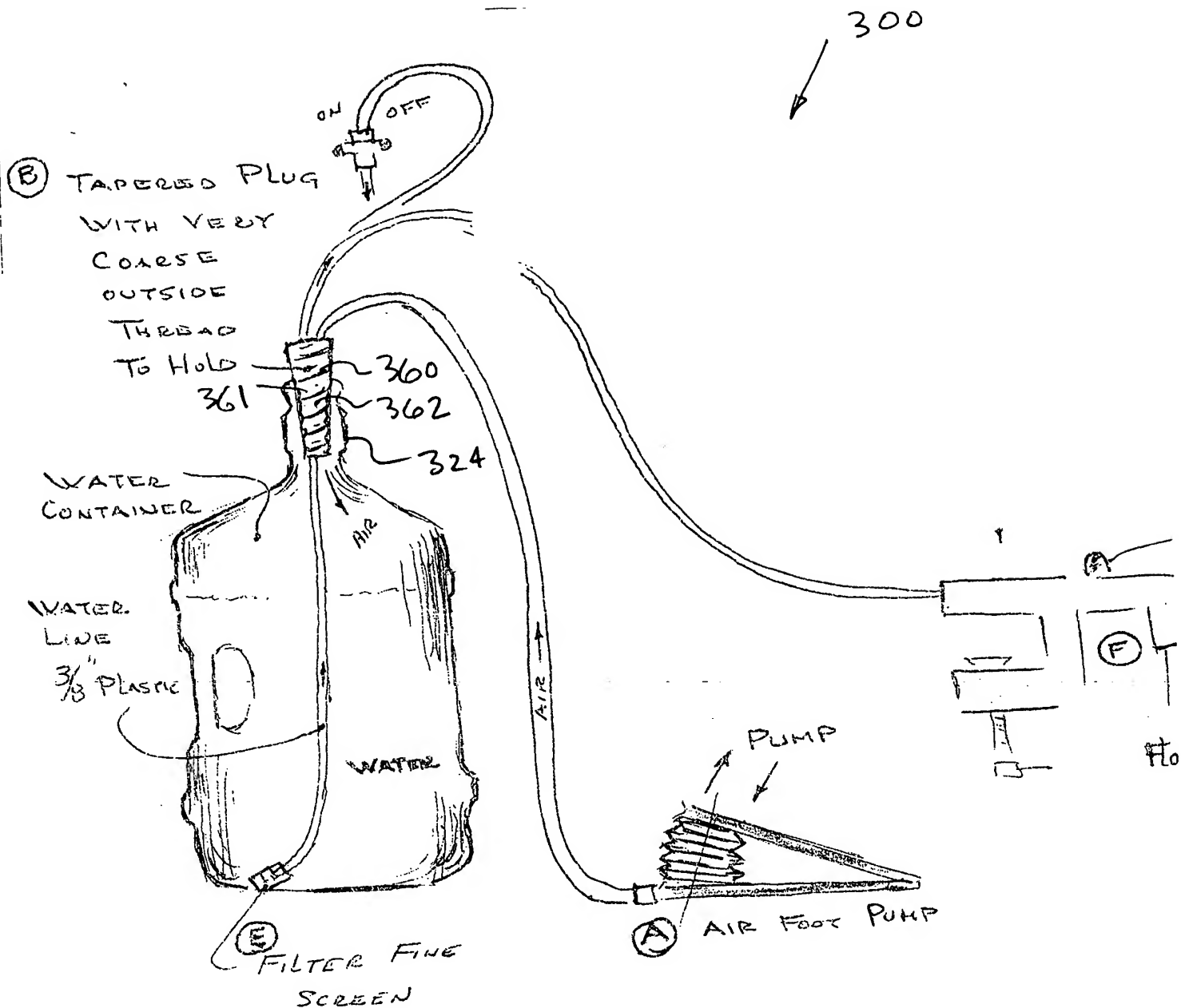


FIG 17

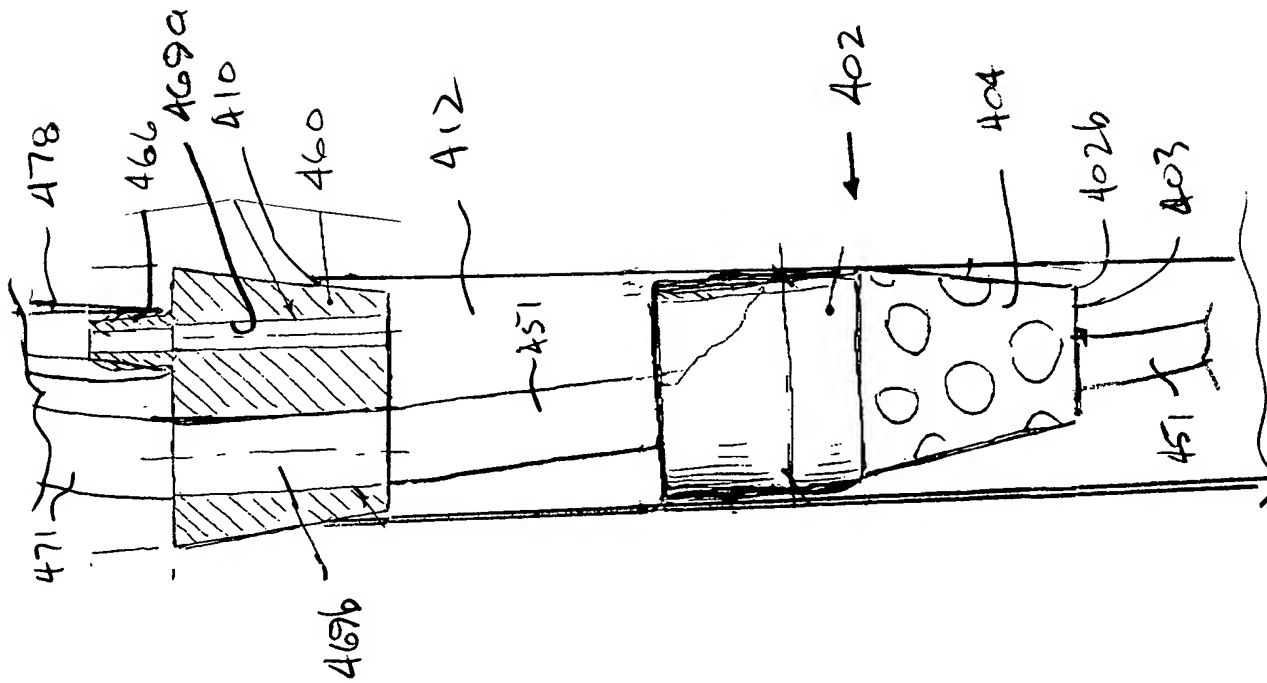


FIG 18

400

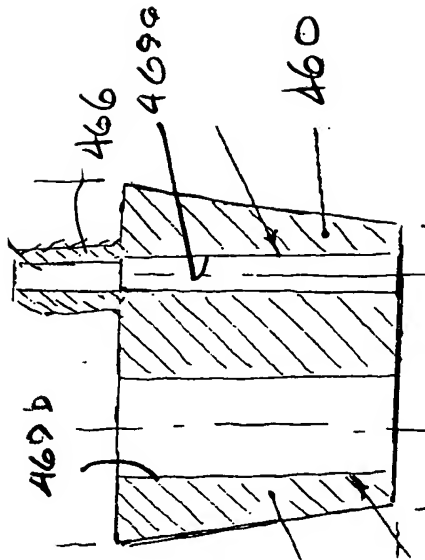


FIG 19

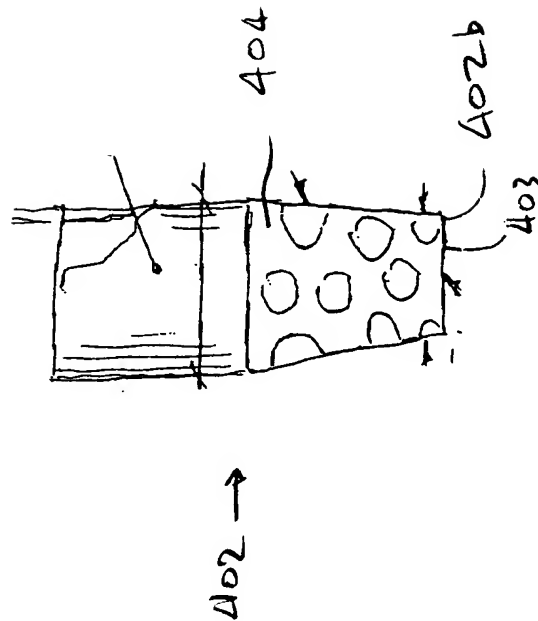
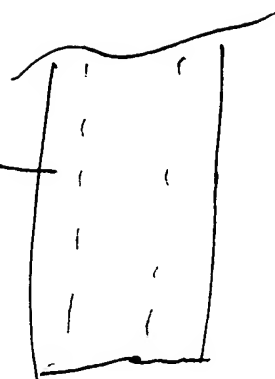


FIG 20

500

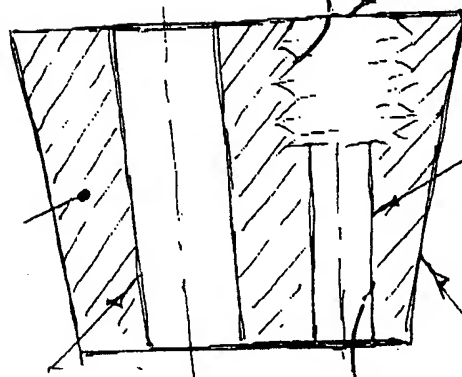


578



566

569a



$\frac{3}{8} \phi$

567

569

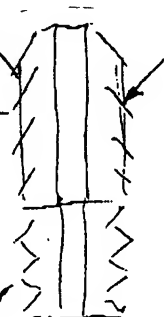
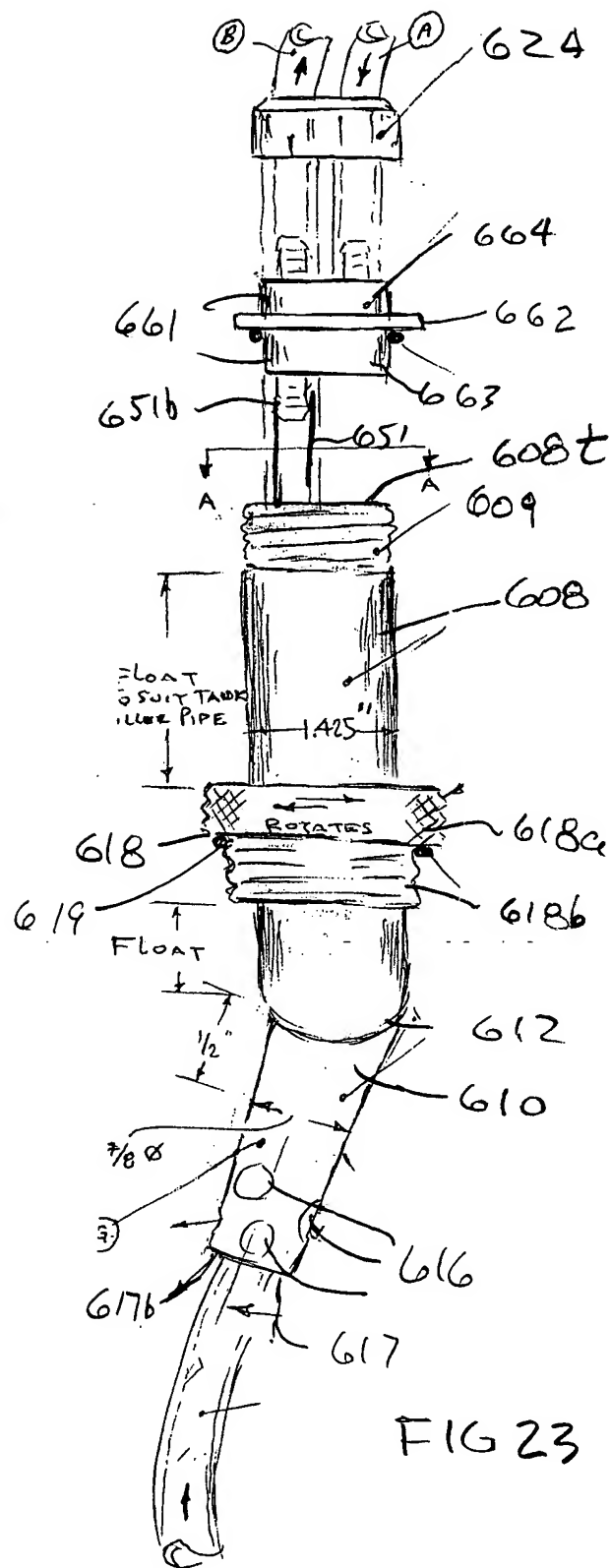
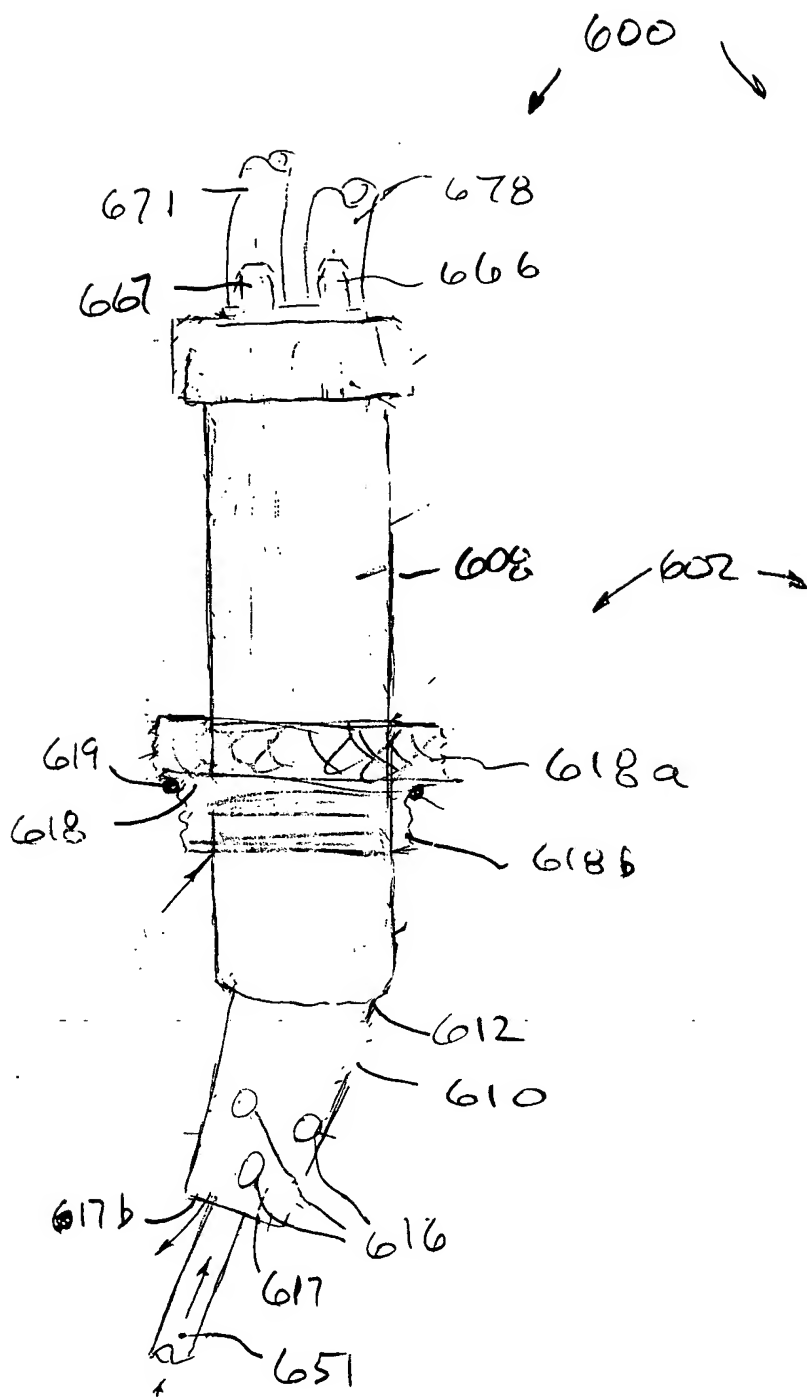


FIG 21



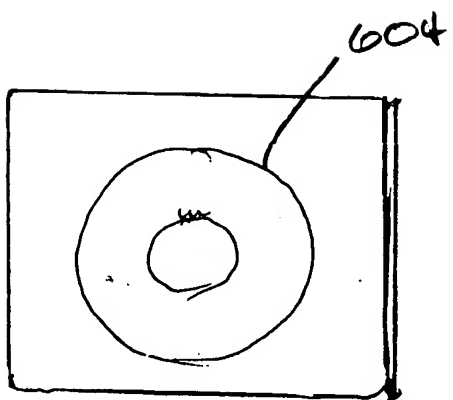


FIG 24

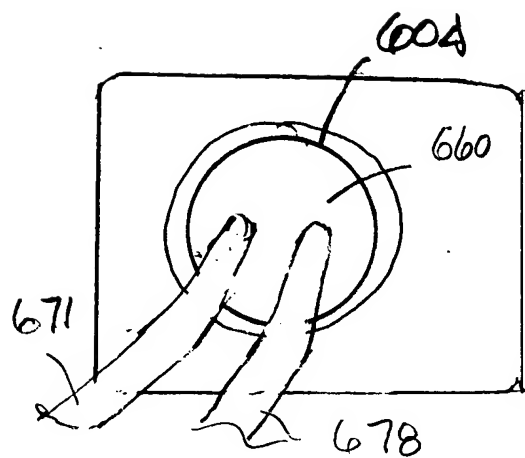


FIG 25

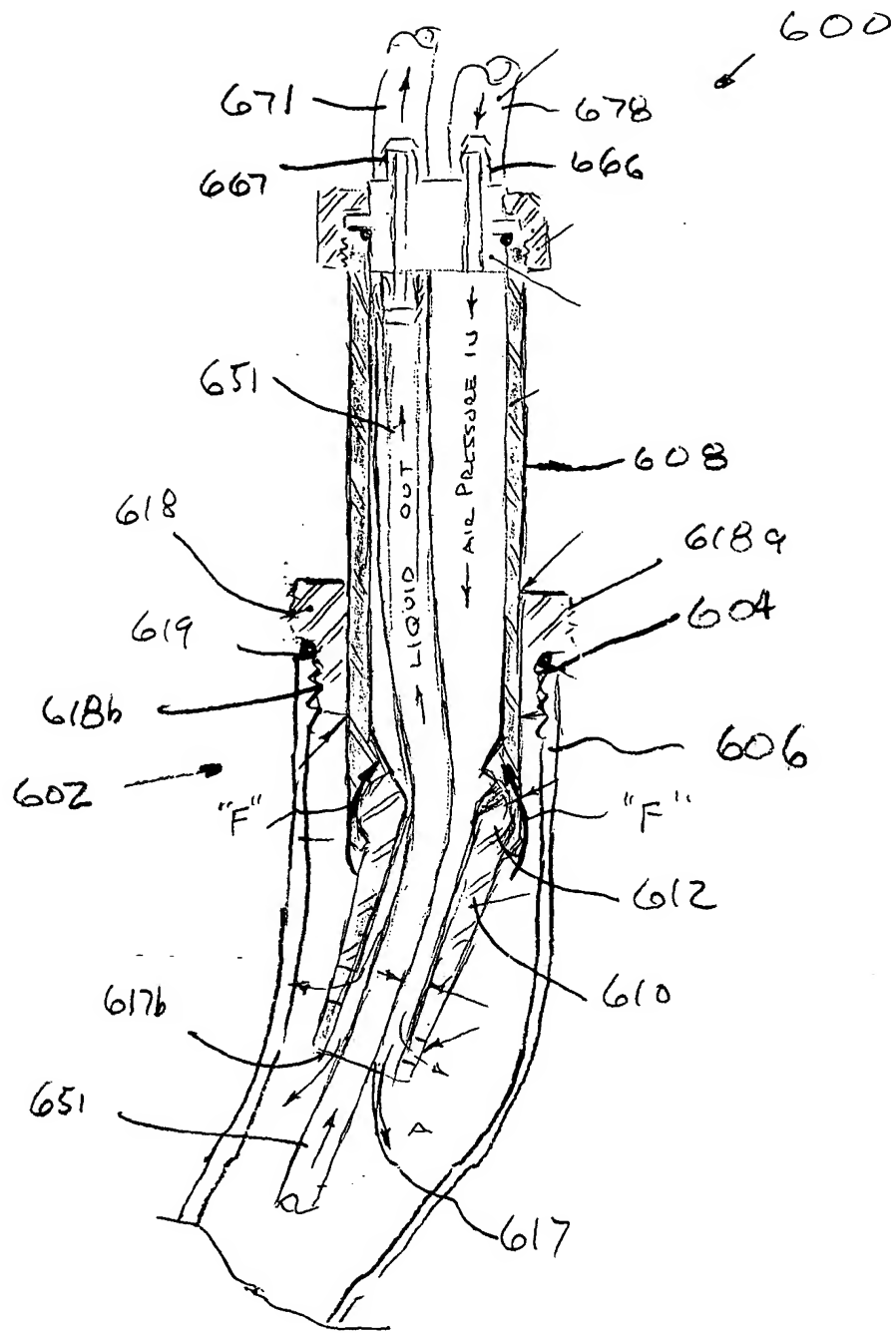
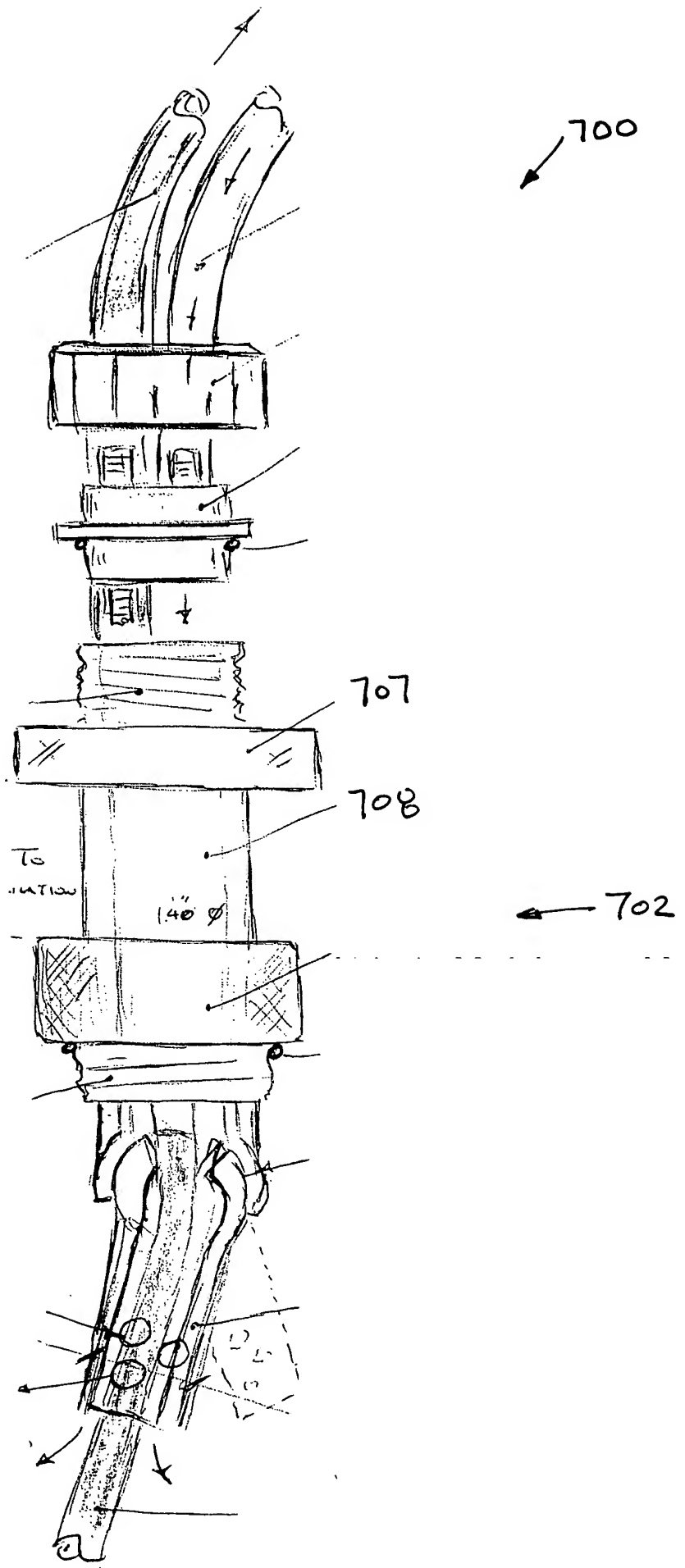


FIG 26

FIG 27



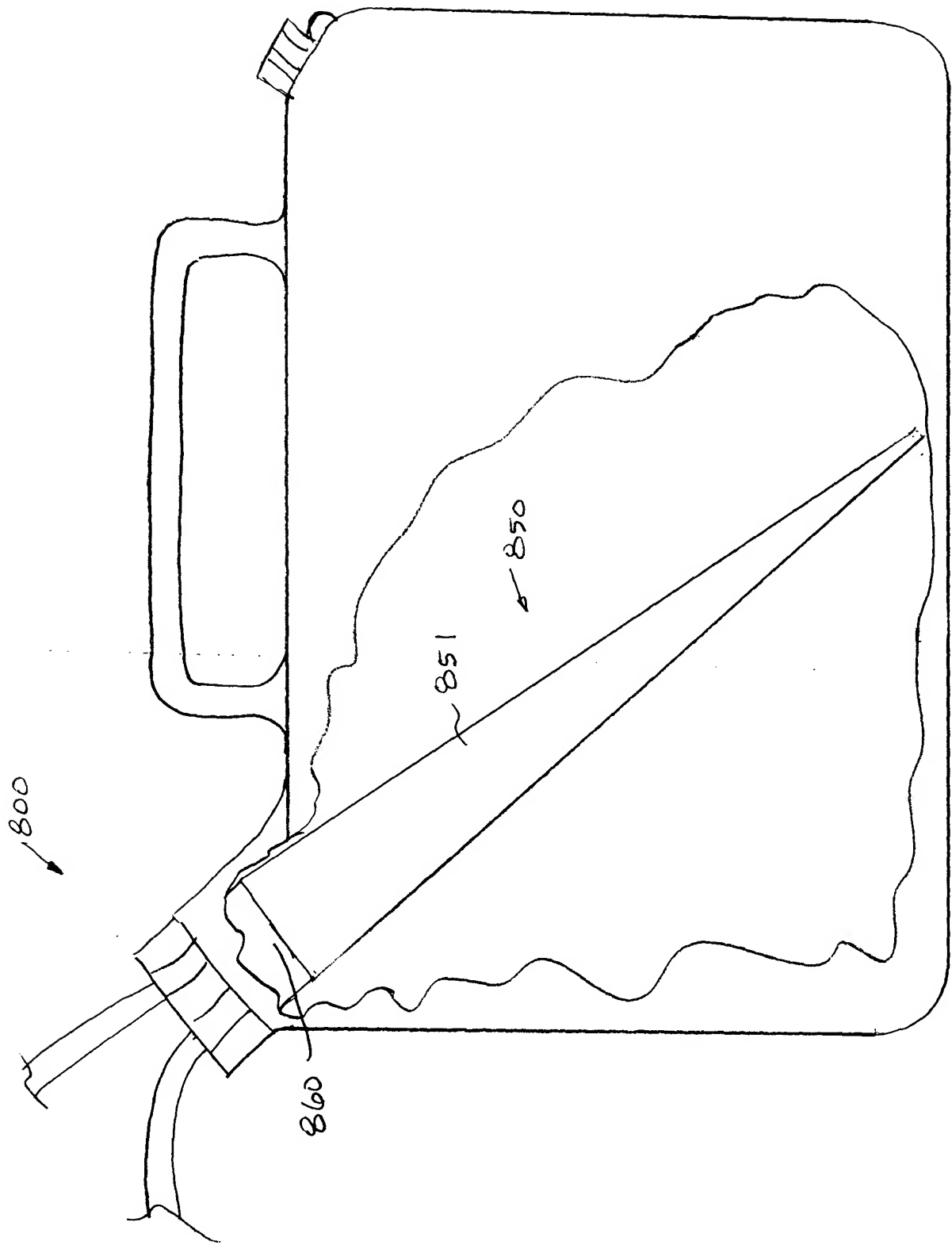


FIG 28

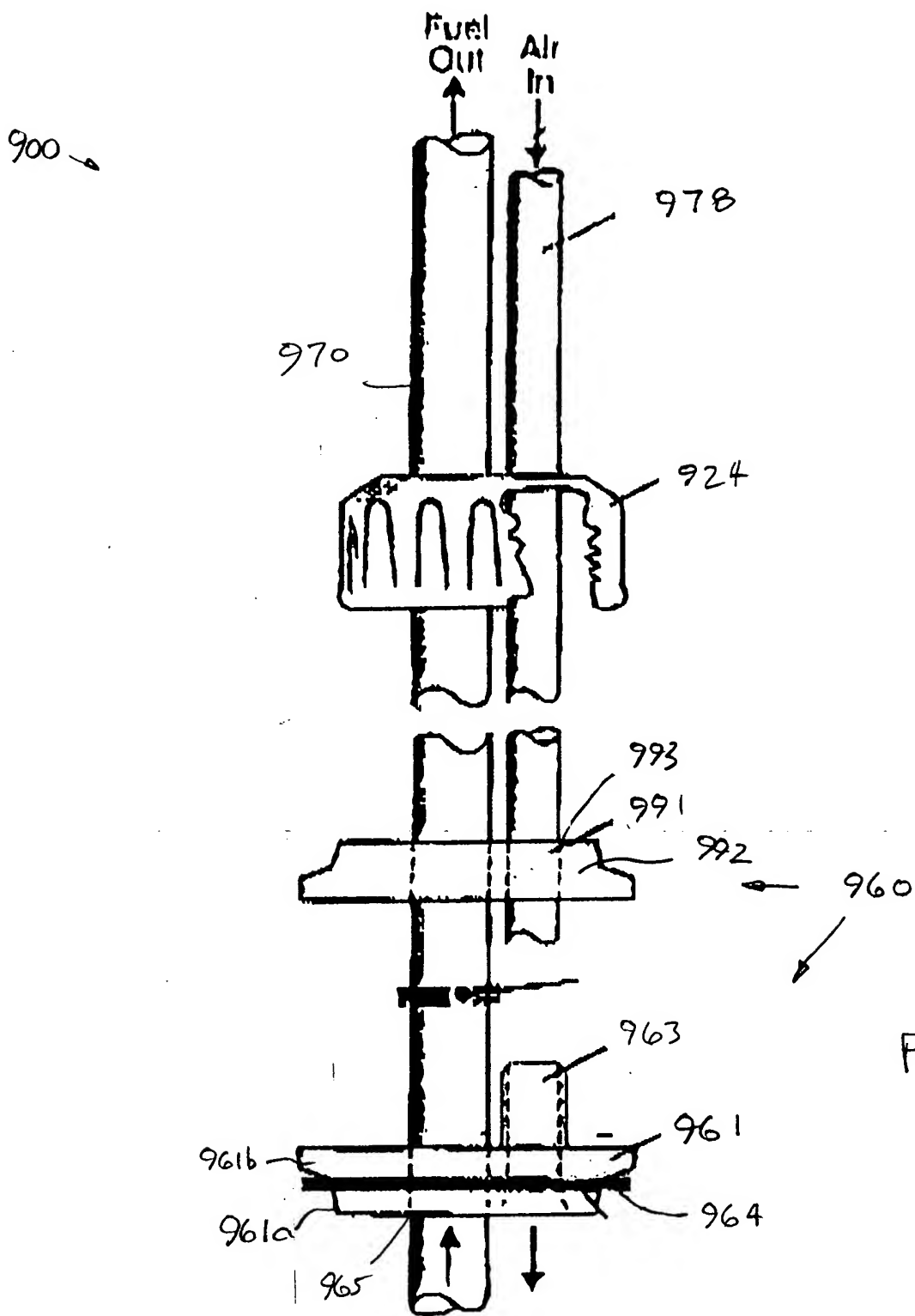


FIG 29

900 →

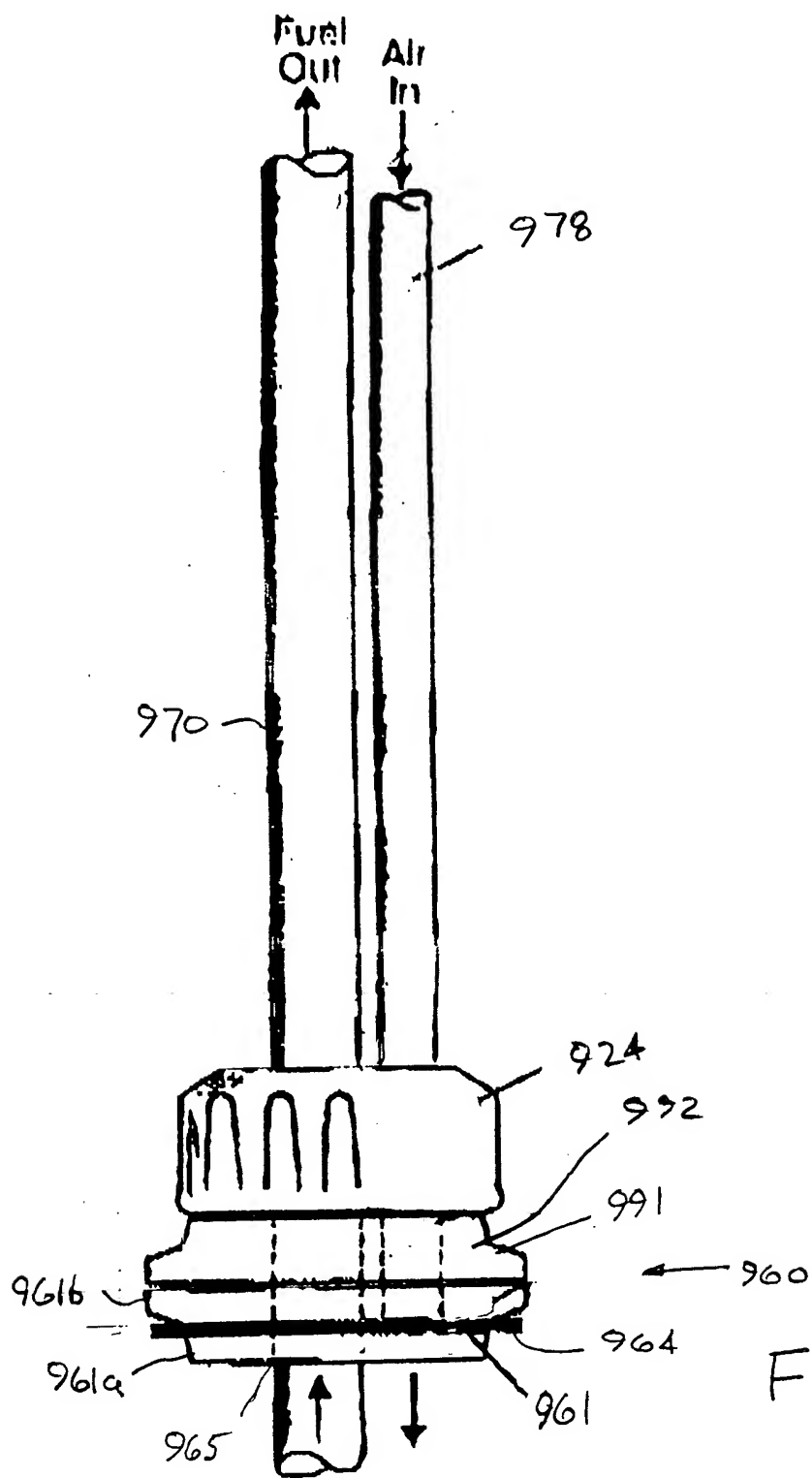


FIG 30

900 →

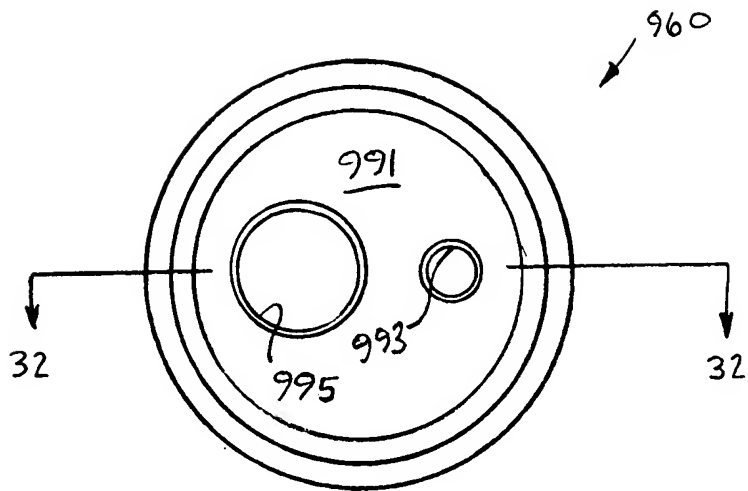
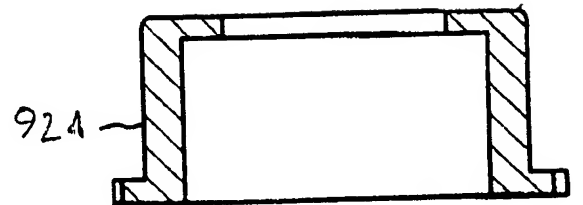


FIG 31



900 →

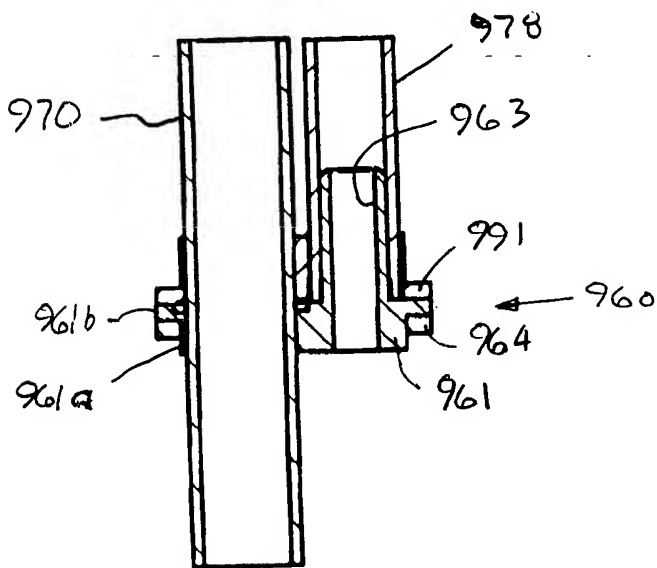
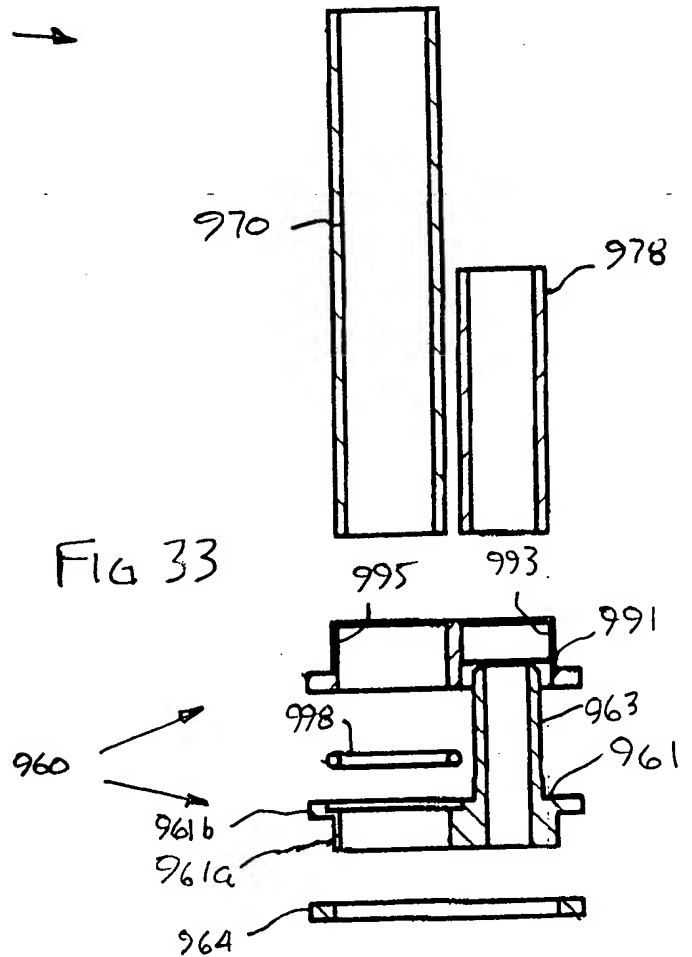


FIG 32

900 →



900 →

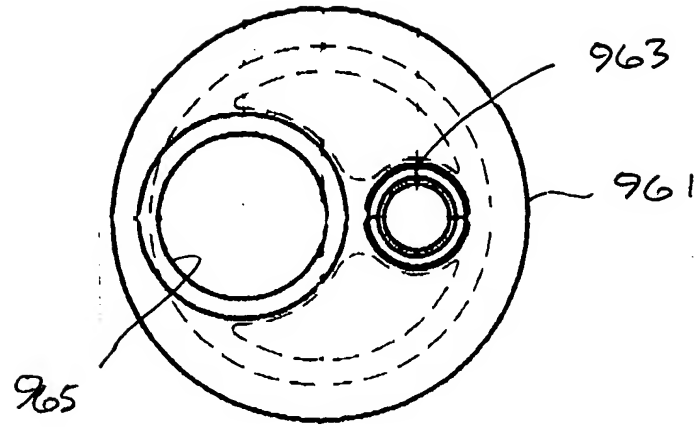


FIG 34

900 →

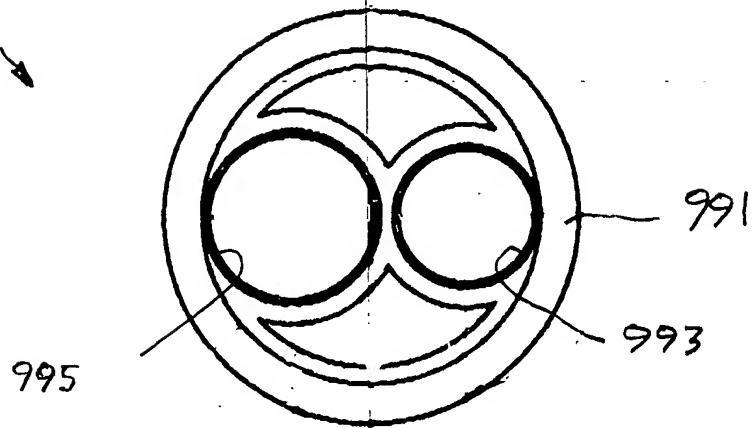


FIG 35

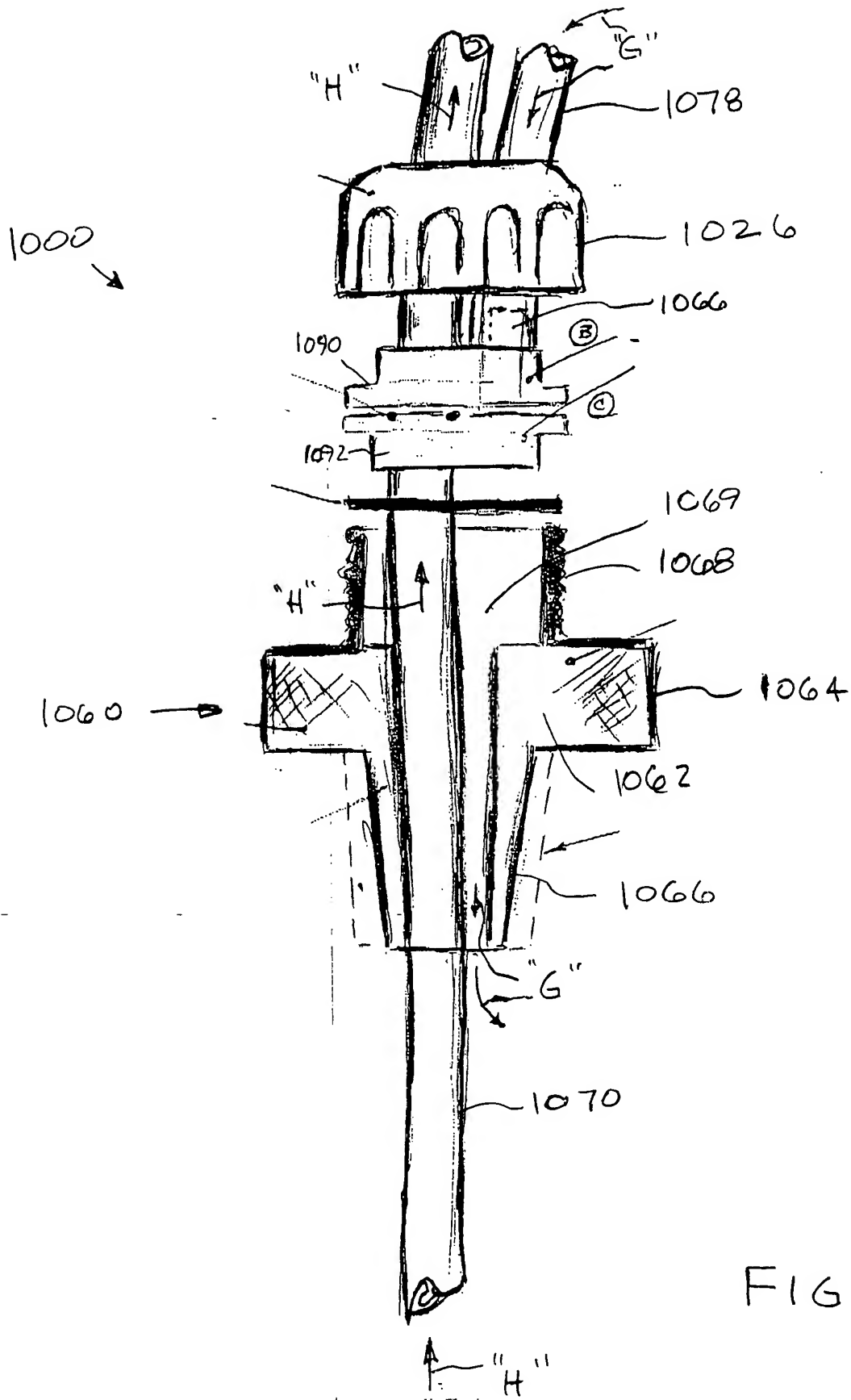


FIG 36